

УДК 534.29

©1995

ВЛИЯНИЕ ПОДВИЖНОСТИ ДЕФЕКТОВ НА ЭФФЕКТИВНОСТЬ СПИН-РЕШЕТОЧНОГО ВЗАИМОДЕЙСТВИЯ В КРИСТАЛЛАХ

А.Л.Столыпко

Сыктывкарский государственный университет

Поступило в Редакцию 9 февраля 1994 г.

В окончательной редакции 12 июля 1994 г.

Получено экспериментальное подтверждение участия трансляционной диффузии примесей в процессе акустического насыщения ЯМР для щелочно-галоидных кристаллов (NaCl , CsI). Вклад примесного механизма спин-решеточной связи, обусловленный трансляционной подвижностью дефектов, преобладает при комнатных температурах и не играет роли при температурах меньших 200 K или при малой мощности ультразвука.

Присутствие в реальных кристаллах парамагнитных примесей даже предельно малых относительных концентраций (порядка 10^{-5} – 10^{-6}) вызывает значительное усиление ядерного спин-решеточного взаимодействия [^{1,2}]. Для кристаллов, содержащих ядра со спином $I > 1/2$, такое усиление связано с увеличением вероятности квадрупольных переходов, индуцированных колебаниями решетки, в околодефектной области, откуда возмущение распространяется на весь кристалл посредством спиновой диффузии (примесный механизм ядерной квадрупольной спин-решеточной связи) [^{2,3}]. Примесный механизм проявляется как в измерениях времени спин-решеточной релаксации в кристаллах [^{4,5}], так и в экспериментах по акустическому насыщению ЯМР [^{2,6}].

Примеси в данной модели спин-решеточного взаимодействия считаются неподвижными [^{2–6}], поэтому подобный механизм вследствие малого радиуса сферы влияния примеси не может быть эффективным без участия спиновой диффузии [⁷]. Коэффициенты спиновой диффузии для большинства кристаллов имеют величину 10^{-12} – $10^{-13} \text{ cm}^2/\text{s}$ и при комнатных температурах на 1–2 порядка превышают коэффициенты трансляционной диффузии примесей (или других дефектов, образующих градиентные центры, например V_K -центров [⁸]). Следовательно, приближение неподвижных примесей при не слишком высоких температурах (комнатные и ниже) вполне приемлемо. Однако, как показано в [^{9,10}] и ряде других, присутствие в кристалле ультразвука мощностью $5\div10 \text{ W/cm}^2$ вызывает значительное ускорение диффузии дефектов. Поскольку при исследовании спин-решеточных взаимодействий методом акустического насыщения ЯМР при комнатных температурах обычно применяются акустические мощности порядка $1\div10 \text{ W/cm}^2$, то роль трансляционной диффузии примесей (градиентных центров) в усилении спин-решеточной связи в данном случае может быть не менее существенной, чем спиновой диффузии.

Температурная зависимость коэффициента спиновой диффузии D_z при не слишком низких температурах ($T > 77$ К) определяется температурной зависимостью ширины линии ЯМР [11]

$$D_z = 0.1a^2 \Delta\nu, \quad (1)$$

где a — минимальное расстояние между соседними спинами. Ширина линии $\Delta\nu$ в отсутствие движения собственных атомов решетки слабо зависит от температуры, что предполагает слабую температурную зависимость эффективности примесного механизма при наличии только спиновой диффузии. Движение же примесей при воздействии ультразвука должно приводить к сильной экспоненциальной температурной зависимости эффективности спин-решеточной связи.

Экспериментальная проверка данного предположения проводилась на кристаллах NaCl и CsI (ядра ^{23}Na и ^{127}I) на импульсном спектрометре ЯМР по стандартной методике акустического насыщения ЯМР [12]. Наблюдалось изменение амплитуды сигнала ядерной индукции при воздействии ультразвука мощностью 4 W/cm^2 , возбуждаемого в образце, помещенном в термостат, продольным пьезопреобразователем из ниобата лития на двойной ларморовской частоте (7 MHz). Торец образца, противоположный излучателю, скапивался для создания режима диффузного поля ультразвука. При фиксированных значениях температур измерялись частотные зависимости фактора акустического насыщения Z , откуда определялись ширина линии акустического ядерного резонанса (АЯР) $\Delta\nu_A$ и эффективная вероятность квадрупольных переходов, возбуждаемых ультразвуком, W_{eff} . Эти величины связаны соотношением

$$W_{\text{eff}} = W \Delta\nu_A,$$

где W — вероятность переходов в центре линии АЯР, определяемая по формуле [12]

$$Z = A/A_0 = (1 + WT_1)^{-1}, \quad (2)$$

A и A_0 — амплитуды сигнала ЯМР при воздействии и без ультразвука, T_1 — время спин-решеточной релаксации, измеряемое в тех же температурных точках, что и Z , в отсутствие ультразвука.

Экспериментальные зависимости, приведенные на рис. 1 и 2, показывают, что с ростом температуры эффективная вероятность W_{eff} экспоненциально растет, а начиная с некоторой температуры T_K , возрастает и ширина линии АЯР. Это не согласуется с существующей моделью акустического насыщения ЯМР посредством примесного механизма спин-решеточной связи. Наблюдаемые зависимости не могут быть также объяснены влиянием склейки образца с пьезопреобразователем, так как ширина линии АЯР не зависит от возможных температурных изменений акустических свойств склейки (кроме того, постоянство амплитуды ультразвука в образце контролировалось электродинамическим методом [12]).

Если вклад в эффективную вероятность спин-решеточной связи, зависящий от температуры, W_{eff}^T , обусловлен трансляционной диффузией примесей, то W_{eff}^T должна быть пропорциональна частоте термоактивированных перескоков примесей f , поскольку f определяет количество «ожиженных» ядер, т. е.

$$W_{\text{eff}}^T = Cf = Cf_0 \exp(-E_a/kT) = W_0 \exp(-E_a/kT), \quad (3)$$

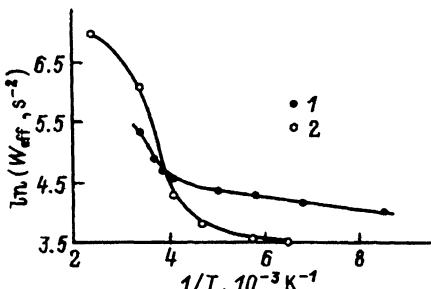


Рис. 1. Зависимости логарифмов эффективных вероятностей квадрупольных переходов W_{eff} от обратной температуры для кристаллов $^{23}\text{NaCl}$ (1) и Cs^{127}I (2).

где C , f_0 , W_0 — константы, E_a — энергия активации диффузии примеси. С ростом температуры количество «охваченных» ядер увеличивается, а так как линия АЯР ядер, находящихся в сфере влияния примеси, значительно уширена, то это приводит к росту наблюдаемой ширины линии АЯР.

Суммарная эффективность переходов W_{eff} определяется вкладами — не зависящим от температуры W_{eff}^p (решеточный и примесный с участием спиновой диффузии) и температурнозависимым W_{eff}^T (примесный с трансляционной диффузией)

$$W_{\text{eff}} = W_{\text{eff}}^p + W_{\text{eff}}^T = W_{\text{eff}}^p + W_0 \exp(-E_a/kT). \quad (4)$$

Отсюда, учитывая, что при низких температурах $W_{\text{eff}} = W_{\text{eff}}^p$, из рис. 1 для обоих кристаллов имеем $E_a = 0.2 \text{ eV}$ (в [13] для кристалла $\text{NaCl} : \text{Ca}$ при приложении сильных электрических переменных полей получено $E_a = 0.20 \text{ eV}$).

С ростом температуры частота перескоков примесей достигает величины f_c , соответствующей температуре T_c , при которой практически все ядра кристалла «охватываются» примесями за время порядка T_1 . Это должно привести к прекращению экспоненциального роста ширины линии АЯР, что наблюдается экспериментально (рис. 2). Зная относительную концентрацию парамагнитных примесей n в кристалле, можно оценить порядок величины f_c

$$f_c = (n T_1 K)^{-1}, \quad (5)$$

где K — число ядер в сфере влияния неподвижной примеси; T_1 — время спин-решеточной релаксации при температуре T_c ; $n = 10^{-4}$ для обоих кристаллов. Учитывая только ближайшее окружение для примесей в кристалле NaCl , имеем $K(\text{NaCl}) = 4$. В кристалле CsI сфера влияния примеси вследствие большей величины квадрупольного момента Q ядер ^{127}I возрастает, и в предположении точечных градиентных центров выполняется соотношение $K(\text{CsI})/K(\text{NaCl}) = Q(\text{I})/Q(\text{Na})$. Из рис. 2 следует, что $T_c(\text{NaCl}) = 300 \text{ K}$, $T_c(\text{CsI}) = 420 \text{ K}$ (точки перегиба в высокотемпературной области кривых), откуда нетрудно оценить порядок величины коэффициентов диффузии примесей. Используя (3), (5) и соотношение $f_c = f_0 \exp(-E_a/kT_c)$, находим частоты

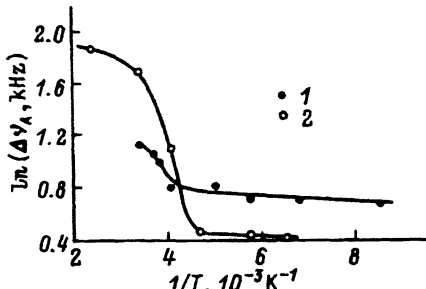


Рис. 2. Зависимости логарифмов ширины линии АЯР $\Delta\nu_A$ от обратной температуры для кристаллов $^{23}\text{NaCl}$ (1) и Cs^{127}I (2).

термоактивированных перескоков примесей при комнатной температуре, которые для NaCl и CsI равны соответственно $2 \cdot 10^2$ и 10^6 Hz . При этом частоты флюктуаций внутрикристаллических полей, наведенных примесями, на исследуемых ядрах имеют приблизительно в n раз меньшую величину, соответственно $2 \cdot 10^{-2}$ и 10^2 Hz , т. е. на порядок меньше обратного времени спин-спиновой релаксации, что исключает эффект сужения линии ЯМР за счет усреднения внутрикристаллических локальных полей на исследуемых ядрах. По формуле Эйнштейна-Смолуховского $D = a^2 f / 6$ получаем для NaCl $D = 5 \cdot 10^{-14}$, для $\text{CsI} — D = 10^{-11} \text{ cm}^2/\text{s}$. Коэффициенты спиновой диффузии для обоих кристаллов $D_z = 2 \cdot 10^{-13} \text{ cm}^2/\text{s}$. Значение D , полученное для NaCl , сопоставимо по порядку величины с коэффициентами диффузии дефектов в работах [10, 14], где для стимуляции диффузии дефектов в кристалле NaCl использовались акустические мощности в интервале $2 \div 10 \text{ W/cm}^2$.

Таким образом, как следует из сравнения эффективных вероятностей W_{eff} при низких и комнатной температурах (рис. 1), при комнатной температуре вклад примесного механизма, обусловленного трансляционной диффузией примесей (градиентных центров), является определяющим. При температурах ниже 200 К в исследуемых случаях движением примесей можно пренебречь, так же как и при использовании малых акустических мощностей, например в методах прямого ядерного акустического резонанса.

Выражаю благодарность Е.В. Чарной за полезные обсуждения и В.М. Юркину за помощь в работе.

Список литературы

- [1] Абрагам А., Гольдман М. // Ядерный магнетизм: порядок и беспорядок. М.: Мир, 1984. Т. 2. 360 с.
- [2] Шутилов В.А., Чарная Е.В., Комашня В.Л. // Ядерный магнитный резонанс. Л.: Изд-во ЛГУ, 1980. № 6. С. 59–80.
- [3] Антокольский Г.Л., Чарная Е.В., Шутилов В.А. // ФТТ. 1973. Т. 15. № 11. С. 3250–3261.
- [4] Комашня В.Л., Шутилов В.А. // ФТТ. 1977. Т. 19. № 4. С. 1090–1096.
- [5] Мавлозаров И., Микушев В.М., Чарная Е.В. // Письма в ЖЭТФ. 1992. Т. 56. № 1. С. 15–17.
- [6] Бахрамов А., Столыпко А.Л., Чарная Е.В., Шутилов В.А. // ФТТ. 1986. Т. 28. № 3. С. 844–849.
- [7] Кулемшов А.А., Столыпко А.Л., Чарная Е.В., Шутилов В.А. // ДАН СССР. 1987. Т. 293. № 6. С. 1361–1364.
- [8] Алукер Э.Д., Гаврилов В.В., Дейч Р.Г., Пирогов Ф.В., Чернов С.А. // ФТТ. 1986. Т. 28. № 1. С. 168–170.
- [9] Аракелян В.С., Авакян А.А., Капанакцян Л.К. // ФТТ. Т. 27. № 8. С. 2536–2537.
- [10] Островский И.В., Коротченков О.А., Лысых В.А. // ФТТ. 1987. Т. 29. № 7. С. 2153–2155.
- [11] Хуцишвили Г.Р. // УФН. 1968. Т. 96. С. 441–463.
- [12] Голенищев-Кутузов В.А., Самарцев В.В., Соловаров Н.К., Хабибулин Б.М. // Магнитная квантовая акустика. М.: Наука, 1977. 200 с.
- [13] Зуев Л.Б., Рыбайнец В.А., Шебалин А.А. // ФТТ. 1986. Т. 28. № 7. С. 2175–2177.
- [14] Arakelyan V.S., Avakyan A.A. // Phys. Stat. Sol. (a). 1983. V. 80. N 1. P. K71–K74.